

III-6 複合応力状態における土の挙動

京都大学防災研究所 正員

柴田 徹

京都大学大学院

正員

○輕部大藏

われわれは土供試体に任意の三主応力を与えることができ、しかも破壊にいたる応力経路も求め得ることを目的とし簡単な装置を試作し、これを用いて各種試験を行なつてゐるが、ここでは粘土に関する結果を報告する。

試験装置 試験機は三軸圧縮試験機一式と、セル内に設置した中间主応力載荷装置(図-1:三軸セルを取り除いたところ)から成つており、供試体は高さ6cm、巾35cm、厚さ2cmの直方体である。この中间主応力載荷装置は内側にゴム膜をとりつけた2枚の平板が供試体を中央向にはさんでおり、ゴム膜と板の間に水圧を加えると供試体に所定の応力が作用するようになっている。また試験中に装置が供試体の鉛直中心軸からずれたり、装置の重量が供試体にかかるのを防ぐためにガイドと平衡重錘が付属している。供試体には高さ方向に σ_1 (ピストン載荷)、巾方向に σ_2 、厚さ方向に σ_3 (側圧)が作用することになる(図-1)がこの装置を用いた際には、主として圧密中に供試体巾が縮小するためにキャップの巾との差が生じ、これがの影響を受けたこと、およびこの装置と供試体やキャップ側面との摩擦が生じること(実際にはその間にシリコングリースを塗ったシートをはさんで摩擦の軽減をはかっている)に対する補正を行なつている。

繰り返し再圧密試料による試験:

試料作成用大型圧密機の圧力 0.45 kg/cm^2 により作成した供試体を用いた。その物性は粘土含有量39%，LL. 59%，PL. 20%の粘土である。試験法はヒズミ制御式(ヒズミ速度は約 $0.01\%/\text{min}$)の圧密非排水試験で、供試体底面においてセンサ中の間ゲージ水圧を測定している。試験時の応力状態は i) $\sigma_1 = \sigma_2 = \sigma_3$ で圧密した後、ii) σ_3 一定のまま($\sigma_1 - \sigma_3$) $= (\sigma_2 - \sigma_3)$ 所定値まで $\sigma_1 = \sigma_2$ を増加し、

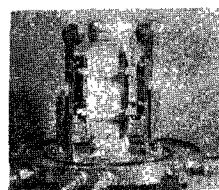
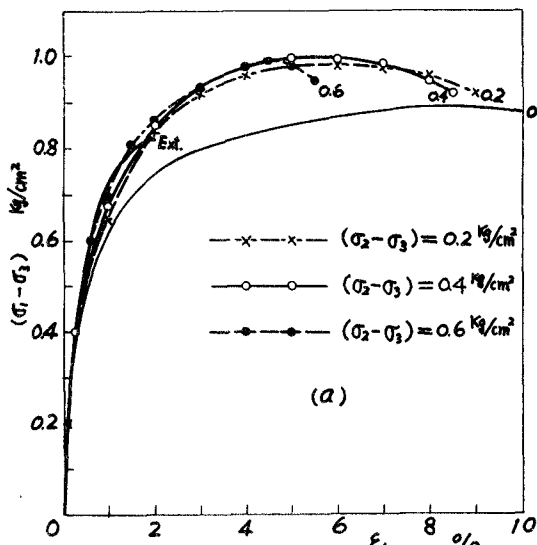
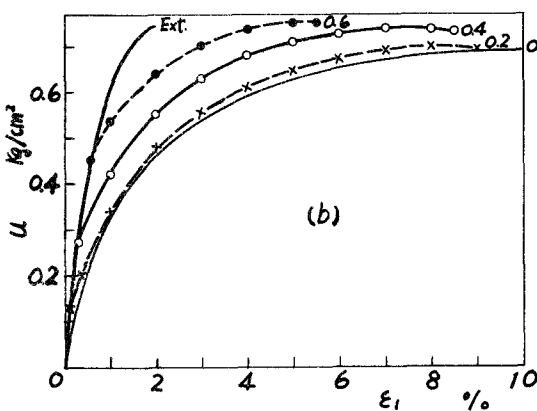


図-1



(a)



(b)

図-2

III) $(\sigma_2 - \sigma_3) =$ 一定のまま、 $(\sigma_1 - \sigma_3)$ を増加させて破壊にいたらしめるものである。すなはちこの試験の応力経路は、先ず $\sigma_1' = \sigma_2' = \sigma_3'$ のままで伸張状態で発生し、 $(\sigma_1 - \sigma_3) = (\sigma_2 - \sigma_3) =$ 所定値に達すると Rendulic の応力面に平行な面内を動くことになる。ここで $\sigma_3 = 1.0 \text{ kg/cm}^2$ $(\sigma_2 - \sigma_3) = 0, 0.2, 0.4, 0.6 \text{ kg/cm}^2$ および伸張に近い条件 ($\sigma_1/\sigma_2 = 0.9$) の試験結果をのべる。

主応力差 ($\sigma_1 - \sigma_3$) および間ゲキ水圧比とひずみの関係をまとめて図示すると図-2(a)(b) のようである。ただし図-2(a)において $(\sigma_1/\sigma_2) = 0.9$ 試験(伸張に近い条件)では $(\sigma_2 - \sigma_3)$ とひずみの関係が描いてある。図-2の $\sigma_1 > \sigma_2 > \sigma_3$ 試験における変形、間ゲキ水圧挙動特性については講演時に説明する。

図-3は $\sigma_1' > \sigma_2' = \sigma_3'$ (\circ EP) と $\sigma_1' > \sigma_2' > \sigma_3'$ (\bullet EP) の応力条件に対する強度定数を比較するため σ_1'/σ_3' の最大値を $(\sigma_1' - \sigma_3')/2 \sim (\sigma_1' + \sigma_3')/2$ 関係にプロットしたもので・印はいずれも○印より上にあり、粘土の破壊に及ぼす中间主応力の影響があらわれている。図-4は $(\sigma_1 - \sigma_3) =$ 一定面内の応力経路を Rendulic の応力面に垂直に投影したもので、図中の平行な斜線群は普通の $\sigma_1' > \sigma_2' = \sigma_3'$ 試験から求めた Mohr-Coulomb の破壊面と、 $(\sigma_2 - \sigma_3) =$ 一定平面との交線であり、 $\sigma_1' > \sigma_2' > \sigma_3'$ 試験の結果はいずれも Mohr-Coulomb の破壊線より外側までのひずみである。なお図-4中には応力経路を $\sigma_1' + \sigma_2' + \sigma_3' = 1$ の八面体面上に、 $\sigma_1', \sigma_2', \sigma_3'$ 座標の原点から投影したものが併記されており、六角形は Mohr-Coulomb の破壊面 ($\phi_{cu} = 35.8^\circ$) の直折面をあらわしている。これによると、粘土の実際の破壊包絡面は Mohr-Coulomb の破壊面を示す六角形に外接する曲面であらわされ、Mohr-Coulomb の破壊面はせん断強度の下限値を代表していることがわかる。

乱さない試料による試験： 中間主応力不強度に対する影響を確認するために、大阪沖積層の乱さない粘土試料を用いて応力制御式の圧密非排水試験を行なった。結果を図-5に示す。詳細は講演でのべる。

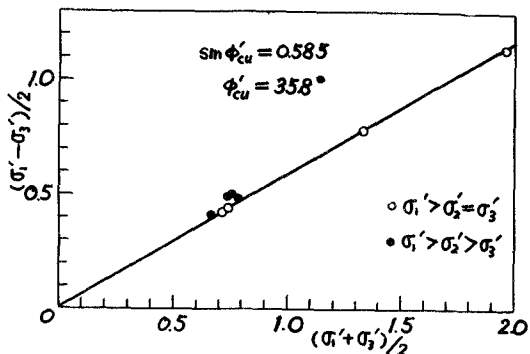


図-3

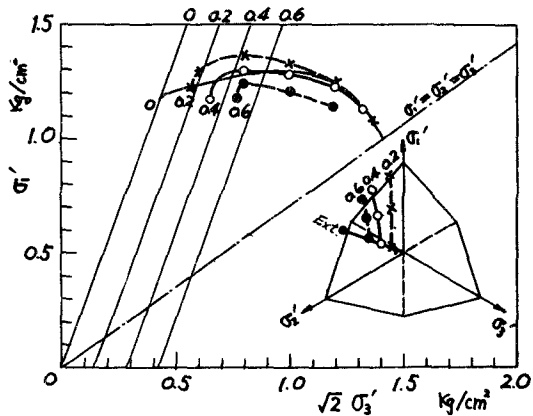


図-4

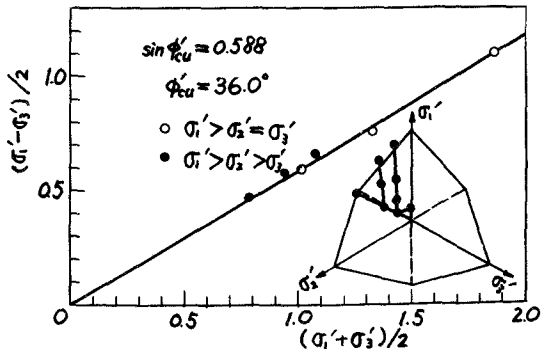


図-5